

Kategorie:Dávno zkontrolované články

V této kategorii jsou zařazeny články, od jejichž poslední kontroly učitelem uplynuly více než 3 roky.

Pages in category "Dávno zkontrolované články"

The following 200 pages are in this category, out of 879 total.

(previous page) (next page)

A

- Abbeho teorie
- Ablace
- Absorbance
- Absorpce, Lambertův zákon
- Achondroplázie
- Acidóza (rozcestník)
- Adamsův-Oliverův syndrom
- Adenokarcinom tlustého střeva (preparát)
- Adenylátcycláza
- Adrenalin
- Afferentní
- Aglutinace
- Aglutinin
- Aglutinogen
- Agonista
- Agranulocyty
- Akustika
- Akutní hemoragická nekróza pankreatu (preparát)
- Akutní pankreatitida (laboratorní diagnostika)
- Akční a sumační potenciály
- Albumin
- Albuminurie
- Aldosteron
- Alely
- Alfa-dextrin
- Alkalóza (rozcestník)
- Aloplastika
- Ambulantní ošetření popáleniny
- Amniocentéza
- Amyloytický
- Amyláza
- Amyláza (heslo)
- Aneurysma mozkové arterie (preparát)
- Angiografie
- Anoxie
- Antagonista
- Anterográdní
- Antiport
- Antitrombin III
- Aorta
- Aorta abdominalis
- Aorta thoracica
- Aplasia fibulae congenita
- Aplikace injekcí
- Arabidopsis thaliana
- Arachnodaktylie
- Arsenazo III
- Arteria carotis communis
- Arteria carotis externa
- Arthrogryposis multiplex congenita
- Artroskopie
- Asfyxie
- Asistence u převazu
- Asociační studie
- Ateroskleróza
- Ateroskleróza koronární arterie (preparát)
- Portál:Atlas histologických preparátů/Endokrinní systém
- Portál:Atlas histologických preparátů/GIT
- Portál:Atlas histologických preparátů/Kožní systém

- Portál:Atlas histologických přípravků/Kožní systém
- Portál:Atlas histologických preparátů/Močový systém
- Portál:Atlas histologických preparátů/Mužský pohlavní systém
- Portál:Atlas histologických preparátů/Ženský pohlavní systém
- Portál:Atlas patologických karyotypů (1. LF UK)
- Atropin
- Audiometrie (2. LF UK)
- Audiometrie (biofyzika)
- Automatické pipety
- Autosomálně dominantní dědičnost
- Autosomálně recesivní dědičnost
- Axolemma

B

- Baktericidní
- Bakteriofág (heslo)
- Bakteriální endokarditis (preparát)
- Barevnost látek
- Barevná hodnota erytrocytu
- Barva zvuku
- Barvení chromozomů
- Basaliom (preparát)
- Batmotropie
- Bazocytopenie
- Bazofilie
- Bazofilní granulocyt
- Beta-karoten
- Biliverdin
- Biofeedback
- Biofyzika sluchu
- Biologický monitoring
- Biotin
- Biuret
- Biuretová reakce
- Bloomův syndrom
- BMI
- Bolesti zad, kořenové syndromy na dolních končetinách/PGS
- Brachyterapie
- Bradykardie
- Bradypnoe
- Bromouracil
- Bromtymolová modř
- Burzitidy
- Bílkoviny v séru a moči (1. LF UK, VL)

C

- Caenorhabditis elegans
- Celková bílkovina
- Celková tělesná voda
- Celokeramická náhrada
- Centrifugace
- Centromera
- Centromerický index
- Charakteristiky biosignálů
- Charakteristiky elektrických biosignálů
- Chemotaxe
- Chirurgické instrumentárium (zubní lékařství)
- Chlopenní vady/Repetitorium
- Cholesterolosis vesicae felleae (preparát)
- Chondrom (preparát)
- Choriokarcinom (preparát)
- Chromatografie na tenké vrstvě
- Chromozom
- Chromozom X
- Chromozom Y
- Chromozomální abnormality
- Chronická gastritis (preparát)
- Chronotropie
- Chymotrypsin ve stolici
- Cirhóza pseudolobulární (preparát)
- Cirkadiánní rytmus
- Cirkulační šok/Repetitorium
- Clavicula

- Clearance
- Compartment syndrom
- Comptonův jev - co dokazuje, přínos
- Coomassie brilliant blue G 250
- Coulombův zákon a permitivita prostředí
- CTA koronárních tepen
- Cystadenoma mucinosum ovarii (preparát)
- Cytoplazma
- Cytoskelet z pohledu biofyziky
- Cytotoxicita
- Céliakie
- Cévní náhrady

D

- Dechové testy s uhlíkem-13
- Dechové testy s vodíkem
- Dechový test s D-xylózou značenou uhlíkem-13
- Dechový test s močovinou značenou uhlíkem-13
- Dechový test s oktanoátem sodným značeným uhlíkem-13
- Denní osvětlení
- Depolarizace
- Deriváty hemoglobinu
- Deriváty hemoglobinu/Spektrofotometrie derivátů hemoglobinu
- Dermatoskopie
- Destičková granula
- Destičková zátka
- Detekce antigenu Helicobacter pylori ve stolici
- Detekce obrazu
- Dezinfekce a sterilizace
- DGGE
- Diagnostické užití ultrazvuku
- Diagnostické zobrazovací metody při náhlých příhodách břišních
- Diagnostické zobrazovací metody při vyšetření hrudníku
- Diagnostické zobrazovací metody při vyšetření pankreatu, jater a sleziny
- Diagnostické zobrazovací metody při vyšetření retroperitonea
- Diagnostické zobrazovací metody při vyšetření skeletu a kloubů
- Diagnostické zobrazovací metody při vyšetření zažívacího traktu
- Diagnostické zobrazovací metody v ORL
- Diagnostika helikobakterové infekce
- Diapedéza
- Diferenciace
- Diferenciální zesilovač
- Diferenciálně diagnostická rozvaha v neurologii/PGS
- DiGeorgův syndrom
- Dihybridismus
- Distenze
- Dobře diferencovaný uroteliální papilokarcinom (preparát)
- Dodecylsíran sodný
- Dopplerovská echokardiografie
- Dopplerovská ultrasonografie
- Dopplerovská ultrasonografie v medicíně
- Dopplerovská zobrazení
- Dopplerovský průtokoměr
- Downův syndrom
- Dromotropie
- Druhy potravin
- Druhy ran
- Dvojčecí metoda
- Dvoudobý dvoufázový otisk
- Dysbetaipoproteinemie
- Dyspareunie a algopareunie
- Dědičnost krevně skupinových systémů

E

- Echogenita tkání
- Echokardiografie
- Edwardsův syndrom
- Edwardsův vzorec
- Edém mozku, poruchy HEB/Repetitorium
- Edém plic (preparát)
- Eferentní
- Ehlers-Danlosův syndrom
- Ejekční frakce

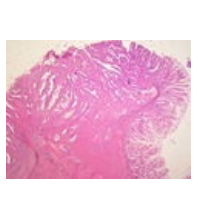
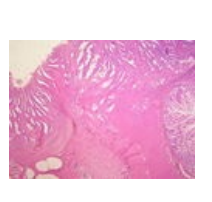
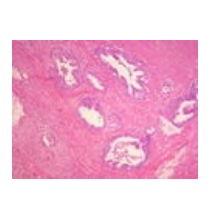
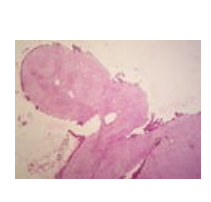
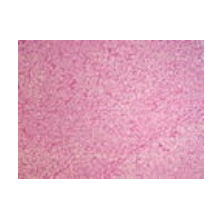
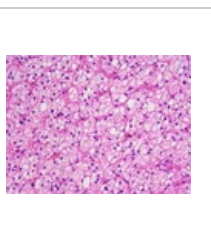
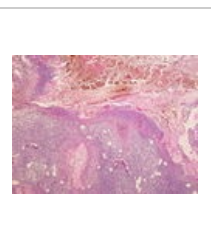
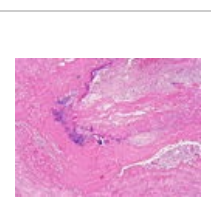
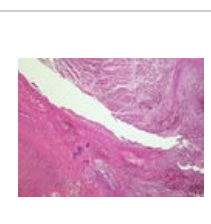
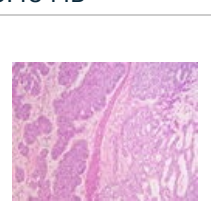
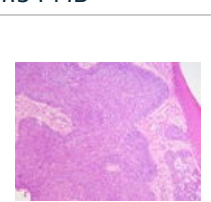
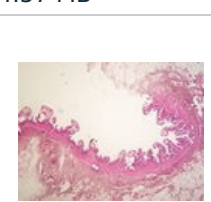
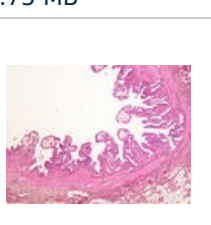
- Procvičování:EKG (1. LF UK)
- Elastické vlastnosti tkání
- Elastografie
- Elastometry

(previous page) (next page)

Media in category "Dávno zkontořované články"

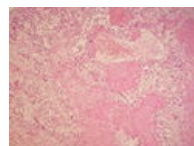
The following 200 files are in this category, out of 205 total.

(previous page) (next page)

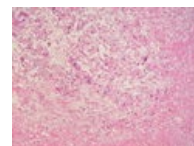
				
Adenokarzinom t... 3,264 × 2,448; 1.63 MB	Adenokarzinom t... 3,264 × 2,448; 1.61 MB	Adenokarzinom t... 3,264 × 2,448; 1.36 MB	Adenom nadledvi... 3,264 × 2,448; 1.42 MB	Adenom nadledvi... 3,264 × 2,448; 1.31 MB
				
Adenom nadledvi... 3,264 × 2,448; 1.39 MB	Akutní hemoragi... 3,264 × 2,448; 1.77 MB	Akutní hemoragi... 3,264 × 2,448; 1.34 MB	Aneurysma moz... 2,800 × 2,132; 625 KB	Aneurysma moz... 3,264 × 2,448; 1.55 MB
				
Ateroskleróza kor... 3,264 × 2,448; 3 MB	Ateroskleróza kor... 3,264 × 2,448; 3.13 MB	Bakteriální endok... 3,264 × 2,448; 3.48 MB	Bakteriální endok... 3,264 × 2,448; 4.54 MB	Bakteriální endok... 3,264 × 2,448; 4.57 MB
				
Bazaliom (81A).jpg 3,264 × 2,448; 1.75 MB	Bazaliom (81B).jpg 3,264 × 2,448; 1.51 MB	Bazaliom (81C).jpg 3,264 × 2,448; 1.38 MB	Bazaliom (81D).jpg 3,264 × 2,448; 1.4 MB	Cholesterolosis v... 3,264 × 2,448; 1.39 MB
				
Cholesterolosis v... 3,264 × 2,448; 1.38 MB	Cholesterolosis v... 3,264 × 2,448; 1.56 MB	Chondrom (22A).... 3,264 × 2,448; 1.43 MB	Chondrom (22B).... 3,264 × 2,448; 1.75 MB	Chondrom (22C).... 3,264 × 2,448; 1.76 MB



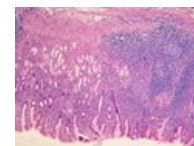
Choriokarcinom (1)
3,264 × 2,448;
1.45 MB



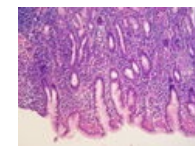
Choriokarcinom (2)
3,264 × 2,448;
1.57 MB



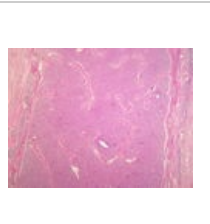
Choriokarcinom (3)
3,264 × 2,448;
1.36 MB



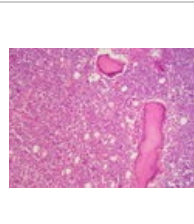
Chronická gastrit...
3,264 × 2,448; 4.1
MB



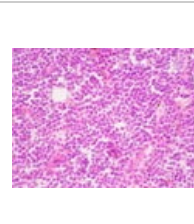
Chronická gastrit...
3,264 × 2,448;
3.61 MB



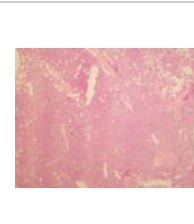
Chronická lymfad...
3,264 × 2,448;
4.13 MB



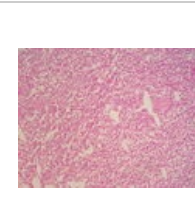
Chronická lymfad...
3,264 × 2,448;
1.61 MB



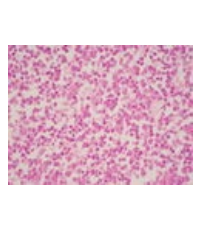
Chronická lymfad...
3,264 × 2,448;
1.56 MB



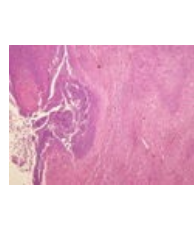
Chronická myeló...
3,264 × 2,448; 1.7
MB



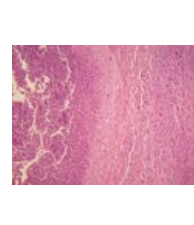
Chronická myeló...
3,264 × 2,448;
1.36 MB



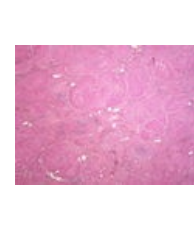
Chronická myeló...
3,264 × 2,448;
1.59 MB



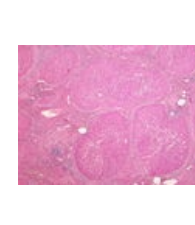
Chronický absces...
3,264 × 2,448;
1.34 MB



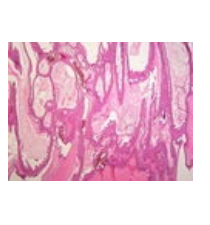
Chronický absces...
3,264 × 2,448;
1.29 MB



Cirhóza (41A).jpg
3,264 × 2,448; 1.3
MB



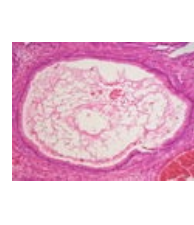
Cirhóza (41B).jpg
3,264 × 2,448;
1.34 MB



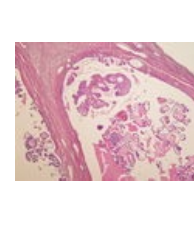
Cystadenoma m...
3,264 × 2,448;
1.71 MB



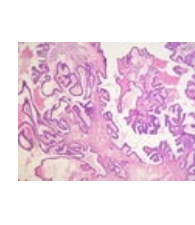
Cystadenoma m...
3,264 × 2,448;
1.54 MB



Cystadenoma m...
3,264 × 2,448;
1.62 MB



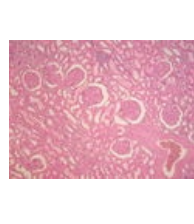
Cystadenoma ser...
3,264 × 2,448;
1.51 MB



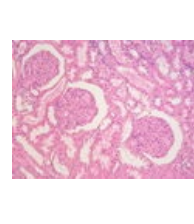
Cystadenoma ser...
3,264 × 2,448;
1.51 MB



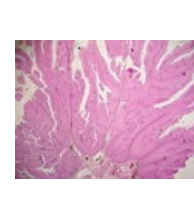
Cystadenoma ser...
3,264 × 2,448;
1.78 MB



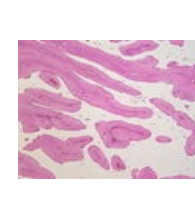
Diabetická glome...
3,264 × 2,448;
1.35 MB



Diabetická glomerulopatie
3,264 × 2,448;
1.47 MB



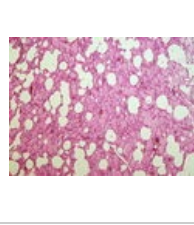
Dobře diferencov...
3,264 × 2,448;
1.73 MB



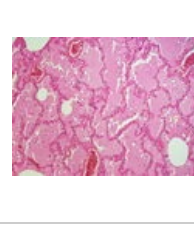
Dobře diferencov...
3,264 × 2,448;
1.36 MB



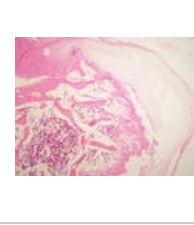
Dobře diferencov...
3,264 × 2,448;
1.67 MB



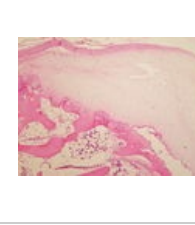
Edém plic (10A).j...
3,264 × 2,448;
3.69 MB



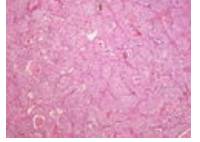
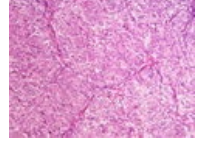
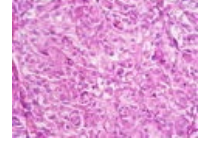
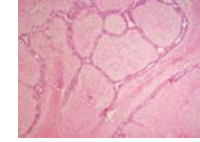
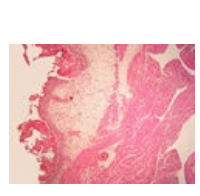
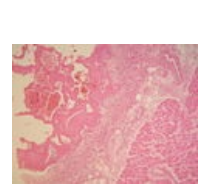
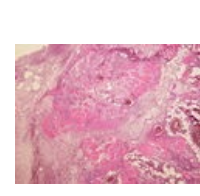
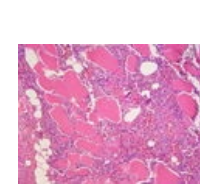
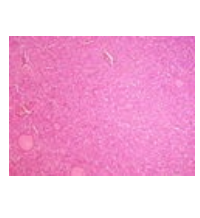
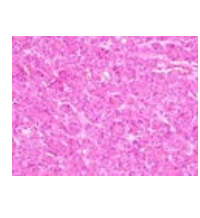
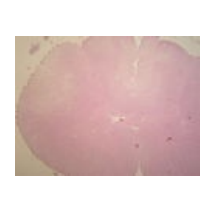
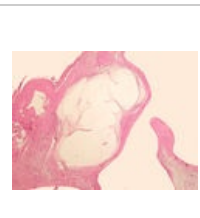
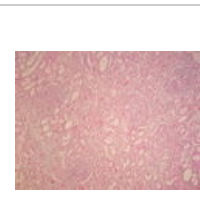
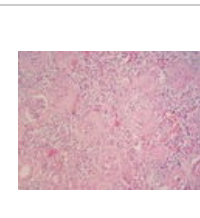
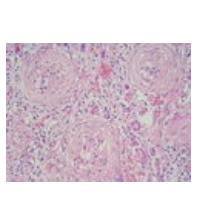
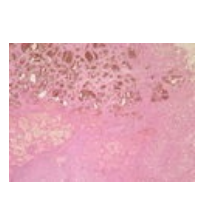
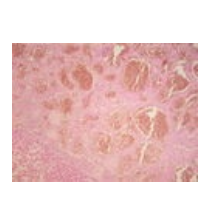
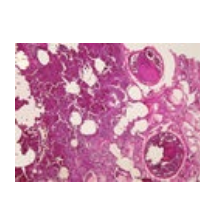
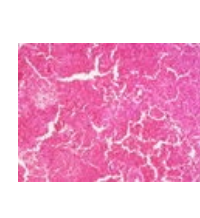
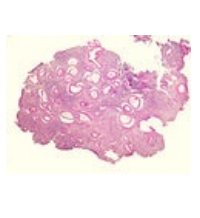
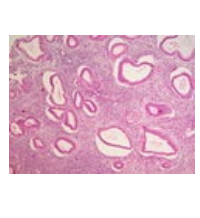
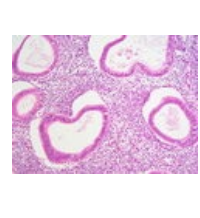
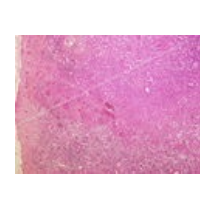
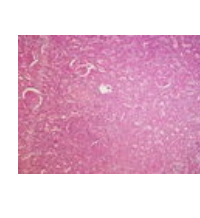
Edém plic (10B).j...
3,264 × 2,448;
3.28 MB

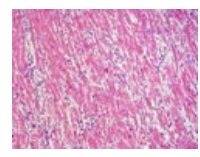
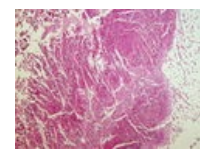
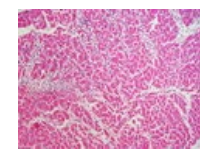
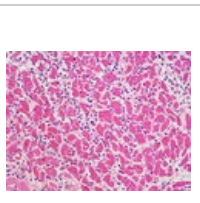
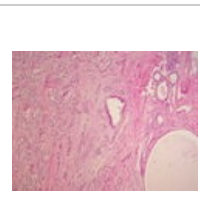
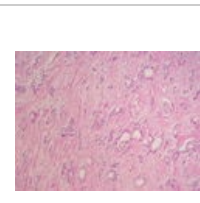
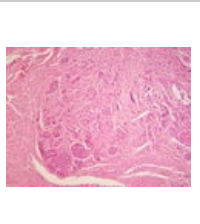
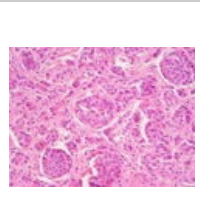
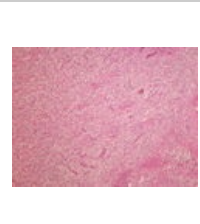
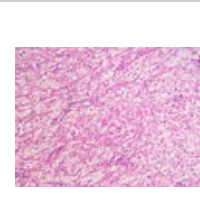
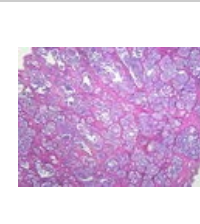
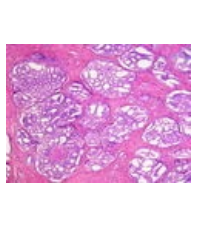
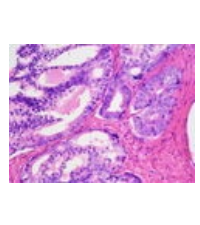
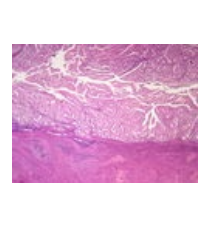
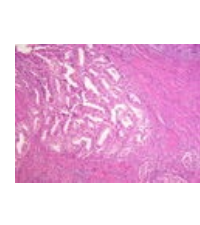
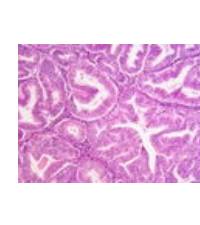
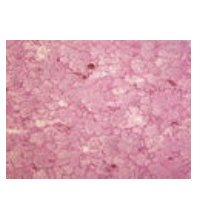
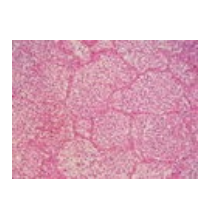
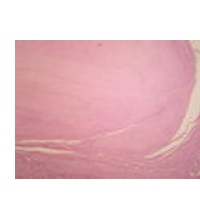
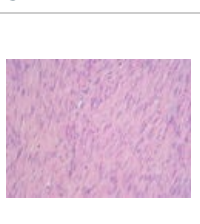
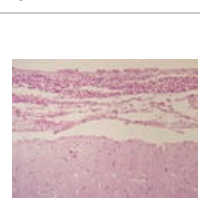
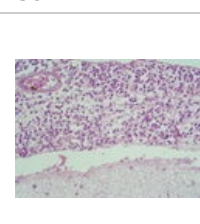


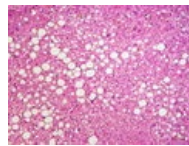
Exostosis cartilag...
3,264 × 2,448;
3.29 MB



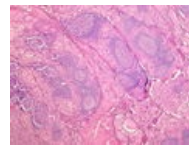
Exostosis cartilag...
3,264 × 2,448;
3.08 MB

				
Feochromocytom... 3,264 × 2,448; 1.32 MB	Feochromocytom... 3,264 × 2,448; 3.41 MB	Feochromocytom... 3,264 × 2,448; 1.4 MB	Fibroadenom ma... 3,264 × 2,448; 1.68 MB	Fibroadenom ma... 3,264 × 2,448; 1.36 MB
				
Fibroadenom ma... 3,264 × 2,448; 1.54 MB	Fibrózní perikardi... 3,264 × 2,448; 2.53 MB	Fibrózní perikardi... 3,264 × 2,448; 1.42 MB	Flegmóna kostern... 3,264 × 2,448; 4.52 MB	Flegmóna kostern... 3,264 × 2,448; 1.34 MB
				
Folikulární karcin... 3,264 × 2,448; 3.45 MB	Folikulární karcin... 3,264 × 2,448; 4.51 MB	Folikulární karcin... 3,264 × 2,448; 3.56 MB	Funikulární myel... 3,264 × 2,448; 1.37 MB	Funikulární myel... 3,264 × 2,448; 1.63 MB
				
Funikulární myel... 3,264 × 2,448; 1.44 MB	Ganglion (74A).jpg 3,264 × 2,448; 1.84 MB	Ganglion (74B).jpg 3,264 × 2,448; 1.41 MB	Glomerulonefritis... 3,264 × 2,448; 1.56 MB	Glomerulonefritis... 3,264 × 2,448; 1.44 MB
				
Glomerulonefritis... 3,264 × 2,448; 1.56 MB	Hemangiom jater... 3,264 × 2,448; 1.62 MB	Hemangiom jater... 3,264 × 2,448; 1.31 MB	Hemoragický infar... 3,264 × 2,448; 3.55 MB	Hemoragický infar... 3,264 × 2,448; 4.57 MB
				
Hyperplastické e... 3,264 × 2,448; 2.22 MB	Hyperplastické e... 3,264 × 2,448; 1.75 MB	Hyperplastické e... 3,264 × 2,448; 1.39 MB	Infarkt ledviny (2... 3,264 × 2,448; 5.08 MB	Infarkt ledviny (2... 3,264 × 2,448; 4.43 MB

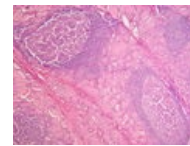
				
Infarkt myokardu... 3,264 × 2,448; 4.56 MB	Infarkt myokardu... 3,264 × 2,448; 4.56 MB	Infarkt myokardu... 3,264 × 2,448; 3.6 MB	Infarkt myokardu... 3,264 × 2,448; 4.43 MB	Infarkt myokardu... 3,264 × 2,448; 3.62 MB
				
Infarkt myokardu... 3,264 × 2,448; 3.41 MB	Infiltrující karcin... 3,264 × 2,448; 3.71 MB	Infiltrující karcin... 3,264 × 2,448; 3.54 MB	Infiltrující karcin... 3,264 × 2,448; 3.91 MB	Karcinoid append... 3,264 × 2,448; 1.35 MB
				
Karcinoid append... 3,264 × 2,448; 1.36 MB	Karcinoid append... 3,264 × 2,448; 1.42 MB	Karcinom ledviny... 3,264 × 2,448; 1.36 MB	Karcinom ledviny... 3,264 × 2,448; 1.4 MB	Karcinom prostat... 3,264 × 2,448; 1.37 MB
				
Karcinom prostat... 3,264 × 2,448; 1.76 MB	Karcinom prostat... 3,264 × 2,448; 1.53 MB	Karcinom těla děl... 3,264 × 2,448; 1.64 MB	Karcinom těla děl... 3,264 × 2,448; 1.67 MB	Karcinom těla děl... 3,264 × 2,448; 1.62 MB
				
Katarální bronch... 3,264 × 2,448; 1.31 MB	Katarální bronch... 3,264 × 2,448; 1.85 MB	Katarální bronch... 3,264 × 2,448; 1.64 MB	Leiomyoma uteri ... 3,264 × 2,448; 1.39 MB	Leiomyoma uteri ... 3,264 × 2,448; 1.48 MB
				
Leiomyoma uteri ... 3,264 × 2,448; 1.56 MB	Leptomeningitis ... 3,264 × 2,448; 1.59 MB	Leptomeningitis ... 3,264 × 2,448; 1.47 MB	Leptomeningitis ... 3,264 × 2,448; 1.6 MB	Ložisková velkok... 3,264 × 2,448; 4.71 MB



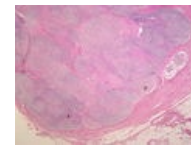
Ložisková velkok...
3,264 × 2,448;
3.62 MB



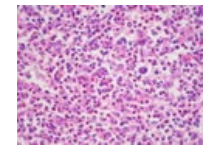
Lymfoplasmocyt...
3,264 × 2,448;
3.92 MB



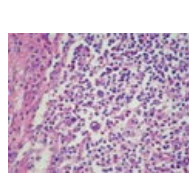
Lymfoplasmocyt...
3,264 × 2,448;
4.29 MB



Maligní lymfogra...
3,264 × 2,448;
1.29 MB



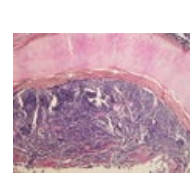
Maligní lymfogra...
3,264 × 2,448;
1.67 MB



Maligní lymfogra...
3,264 × 2,448;
1.59 MB



Malobuněčný kar...
3,264 × 2,448;
1.91 MB



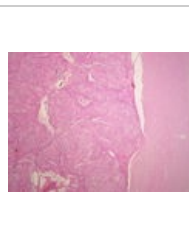
Malobuněčný kar...
3,264 × 2,448;
1.31 MB



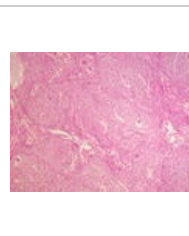
Mastopathia fibro...
3,264 × 2,448; 1.5
MB



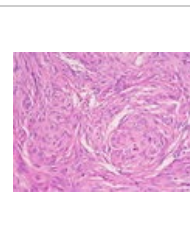
Mastopathia fibro...
3,264 × 2,448;
1.54 MB



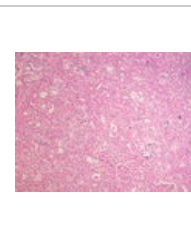
Meningeom (69A...
3,264 × 2,448;
1.54 MB



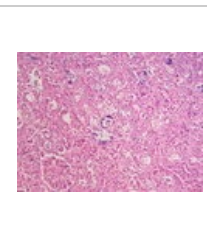
Meningeom (69B...
3,264 × 2,448;
1.65 MB



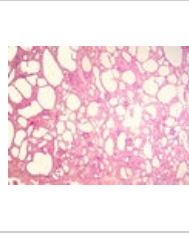
Meningeom (69C...
3,264 × 2,448;
1.39 MB



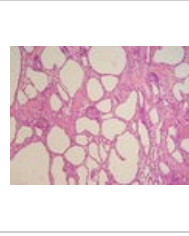
Metastatické zvá...
3,264 × 2,448;
1.37 MB



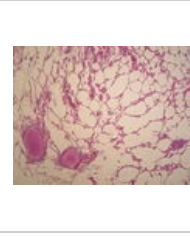
Metastatické zvá...
3,264 × 2,448;
1.54 MB



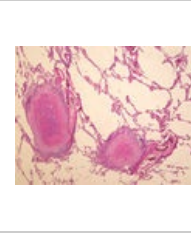
Mikrocystóza led...
3,264 × 2,448;
2.34 MB



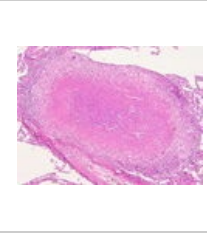
Mikrocystóza led...
3,264 × 2,448;
3.05 MB



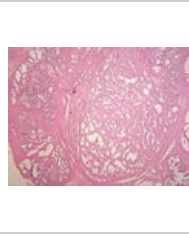
Miliární TBC plic (...
3,264 × 2,448; 1.5
MB



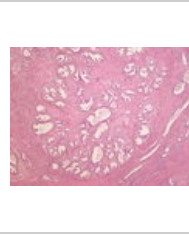
Miliární TBC plic (...
3,264 × 2,448;
1.93 MB



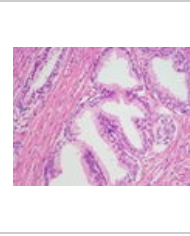
Miliární TBC plic (...
3,264 × 2,448;
1.74 MB



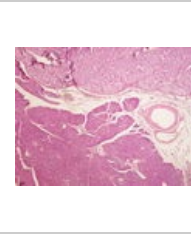
Myoadenomová ...
3,264 × 2,448;
1.66 MB



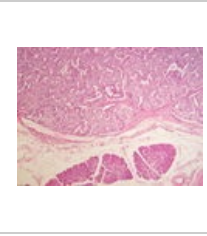
Myoadenomová ...
3,264 × 2,448; 1.3
MB



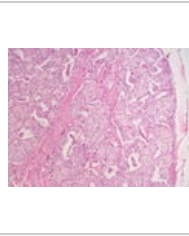
Myoadenomová ...
3,264 × 2,448;
1.53 MB



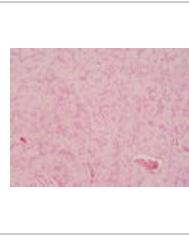
Nesidiom (79A).jpg
3,264 × 2,448;
4.35 MB



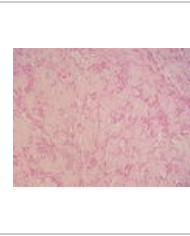
Nesidiom (79B).jpg
3,264 × 2,448; 4
MB



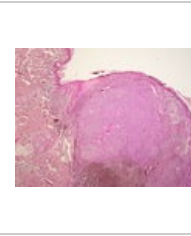
Nesidiom (79C).jpg
3,264 × 2,448;
1.46 MB



Neurilemom (25A...
3,264 × 2,448;
1.38 MB



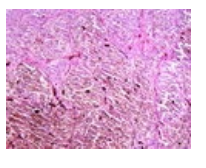
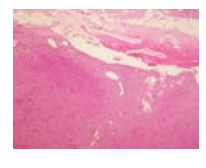
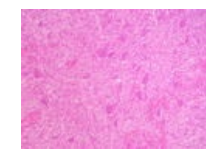
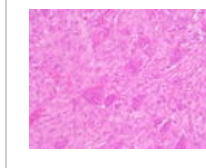
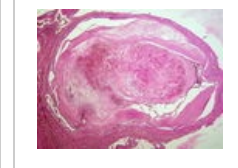
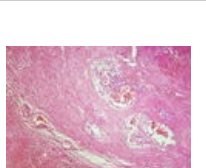
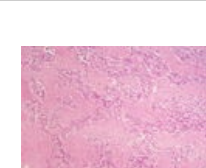
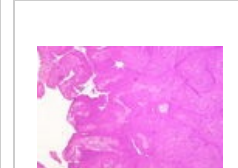
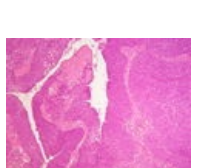
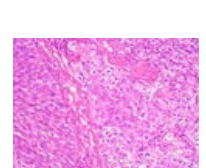
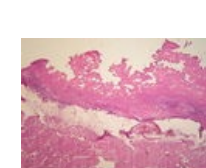
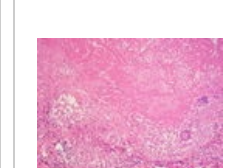
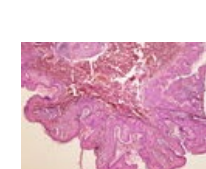
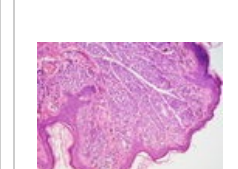
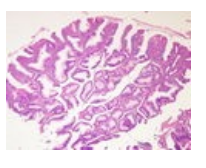
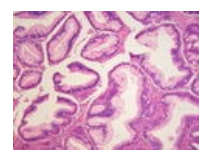
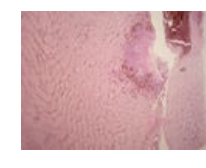
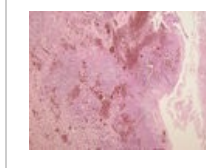
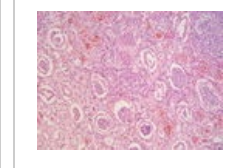
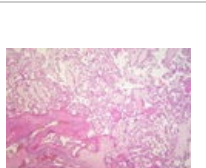
Neurilemom (25B...
3,264 × 2,448;
1.51 MB

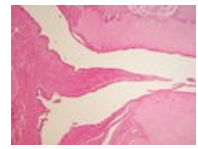


Nodulární melan...
3,264 × 2,448;
4.44 MB

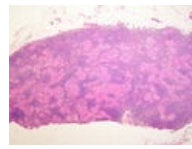


Nodulární melan...
3,264 × 2,448; 1.3
MB

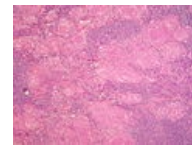
				
Nodulární melan... 3,264 × 2,448; 1.79 MB	Obrovskobuněčn... 3,264 × 2,448; 3.97 MB	Obrovskobuněčn... 3,264 × 2,448; 1.44 MB	Obrovskobuněčn... 3,264 × 2,448; 1.52 MB	Organizovaný tro... 3,264 × 2,448; 3.62 MB
				
Organizovaný tro... 3,264 × 2,448; 3.64 MB	Osteosarkom (72... 3,264 × 2,448; 1.38 MB	Osteosarkom (72... 3,264 × 2,448; 1.46 MB	Osteosarkom (72... 3,264 × 2,448; 1.69 MB	Papilokarcinom ... 3,264 × 2,448; 1.35 MB
				
Papilokarcinom ... 3,264 × 2,448; 1.36 MB	Papilokarcinom ... 3,264 × 2,448; 1.43 MB	Pericarditis TBC (... 3,264 × 2,448; 1.58 MB	Pericarditis TBC (... 3,264 × 2,448; 1.39 MB	Pericarditis TBC (... 3,264 × 2,448; 1.35 MB
				
Perisplenitis carti... 3,264 × 2,448; 3.03 MB	Perisplenitis carti... 3,264 × 2,448; 4.27 MB	Pigmentový névu... 3,264 × 2,448; 1.78 MB	Pigmentový névu... 3,264 × 2,448; 1.38 MB	Pigmentový névu... 3,264 × 2,448; 1.48 MB
				
Polypózní adeno... 3,264 × 2,448; 1.39 MB	Polypózní adeno... 3,264 × 2,448; 1.42 MB	Pyelonefritis hnis... 3,264 × 2,448; 1.4 MB	Pyelonefritis hnis... 3,264 × 2,448; 1.88 MB	Pyelonefritis hnis... 3,264 × 2,448; 1.55 MB
				
Residua post abo... 3,264 × 2,448; 1.66 MB	Residua post abo... 3,264 × 2,448; 1.47 MB	Retençní cysty c... 3,264 × 2,448; 1.55 MB	Retençní cysty c... 3,264 × 2,448; 1.63 MB	Revmatoidní artri... 3,264 × 2,448; 1.42 MB



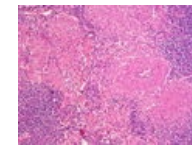
Revmatoidní artri...
3,264 × 2,448;
1.54 MB



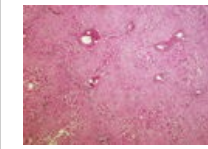
Sarkoidóza uzliny...
3,264 × 2,448;
1.72 MB



Sarkoidóza uzliny...
3,264 × 2,448;
1.54 MB



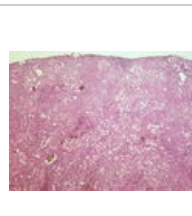
Sarkoidóza uzliny...
3,264 × 2,448;
1.84 MB



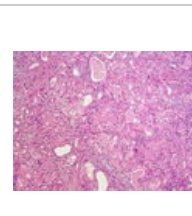
Sekundární amyl...
3,264 × 2,448;
3.83 MB



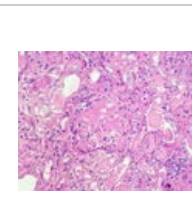
Sekundární amyl...
3,264 × 2,448; 3.7
MB



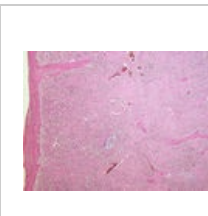
Sekundární amyl...
3,264 × 2,448;
4.41 MB



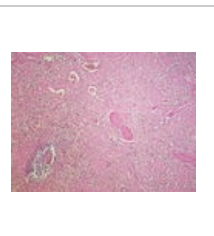
Sekundární amyl...
3,264 × 2,448;
3.58 MB



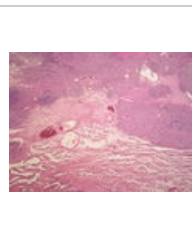
Sekundární amyl...
3,264 × 2,448;
3.28 MB



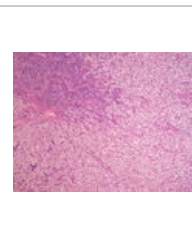
Sekundární amyl...
3,264 × 2,448;
3.98 MB



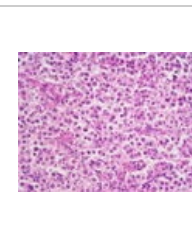
Sekundární amyl...
3,264 × 2,448;
4.41 MB



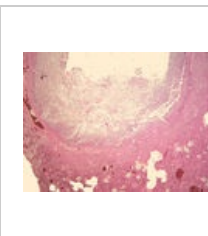
Seminom varlete...
3,264 × 2,448;
1.31 MB



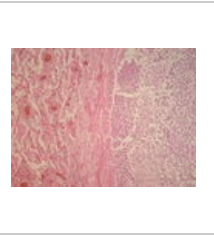
Seminom varlete...
3,264 × 2,448; 1.3
MB



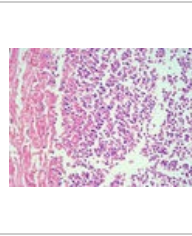
Seminom varlete...
3,264 × 2,448;
1.49 MB



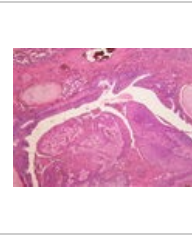
Septické metasta...
3,264 × 2,448;
2.78 MB



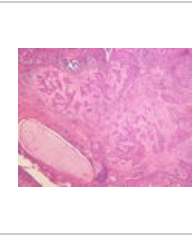
Septické metasta...
3,264 × 2,448;
1.36 MB



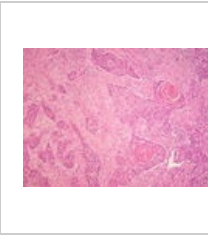
Septické metasta...
3,264 × 2,448;
2.17 MB



Spinocelulární ka...
3,264 × 2,448; 1.3
MB



Spinocelulární ka...
3,264 × 2,448;
1.31 MB



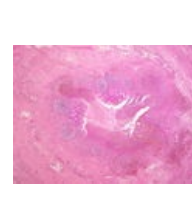
Spinocelulární ka...
3,264 × 2,448;
1.36 MB



Tabes dorsalis (6...
3,264 × 2,448;
1.49 MB



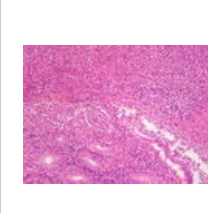
Tabes dorsalis (6...
3,264 × 2,448;
1.36 MB



Ulceroflegmonóz...
3,264 × 2,448;
1.56 MB



Ulceroflegmonóz...
3,264 × 2,448;
1.37 MB



Ulceroflegmonóz...
3,264 × 2,448;
1.74 MB

(previous page) (next page)